

**Молекулно-динамични
симулации в различни
термодинамични
ансамбли**

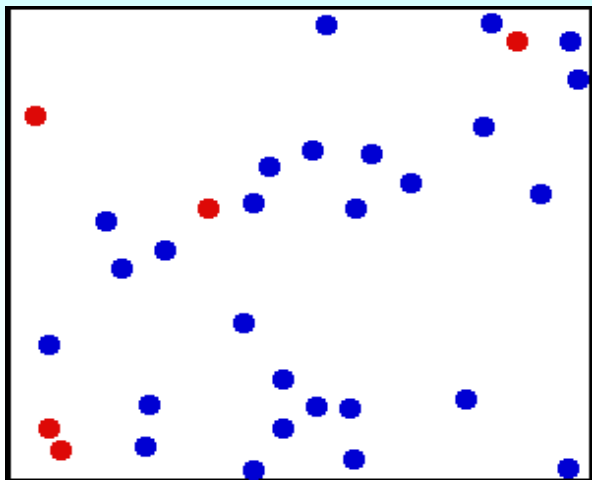
Симулации при постоянна температура



Връзка между температура и кинетична енергия

$$k_B T = m \langle v_\alpha^2 \rangle$$

На частица и на степен на свобода



Разпределение на Максвел-Болцман

$$\mathcal{P}(p) = \left(\frac{\beta}{2\pi m} \right)^{3/2} \exp \left[-\beta p^2 / (2m) \right]$$

$1/kT$

Идеален газ

2-ри и 4-ти момент на p



$$p^2 = \sum_{\alpha} p_{\alpha}^2$$

$$\langle p^4 \rangle = \int d\mathbf{p} p^4 \mathcal{P}(p) = 15 \left(\frac{m}{\beta} \right)^2$$

$$p^4 = \left(\sum_{\alpha} p_{\alpha}^2 \right)^2$$

$$\langle p^2 \rangle = \int d\mathbf{p} p^2 \mathcal{P}(p) = \frac{3m}{\beta}$$

$$\frac{\sigma_{p^2}^2}{\langle p^2 \rangle^2} \equiv \frac{\langle p^4 \rangle - \langle p^2 \rangle^2}{\langle p^2 \rangle^2} = \frac{15(m/\beta)^2 - (3m/\beta)^2}{(3m/\beta)^2} = \frac{2}{3}$$

Флуктуации на T за $N, V, T = \text{const}$



$$\begin{aligned}\frac{\sigma_{T_k}^2}{\langle T_k \rangle_{NVT}^2} &\equiv \frac{\langle T_k^2 \rangle_{NVT} - \langle T_k \rangle_{NVT}^2}{\langle T_k \rangle_{NVT}^2} \\ &= \frac{N \langle p^4 \rangle + N(N-1) \langle p^2 \rangle \langle p^2 \rangle - N^2 \langle p^2 \rangle^2}{N^2 \langle p^2 \rangle^2} \\ &= \frac{1}{N} \frac{\langle p^4 \rangle - \langle p^2 \rangle^2}{\langle p^2 \rangle^2} = \frac{2}{3N}.\end{aligned}$$

Термостат на Андерсън



Системата се свързва към топлинен резервоар.

Произволно се избира частица, която да взаимодейства с резервоара. Нейната скорост се задава според разпределението на Максвел-Болцман за желаната температура.



Разширен лагранжиан

$$\mathcal{L}_{\text{Nose}} = \sum_{i=1}^N \frac{m_i}{2} s^2 \dot{\mathbf{r}}_i^2 - \mathcal{U}(\mathbf{r}^N) + \frac{Q}{2} \dot{s}^2 - \frac{L}{\beta} \ln s$$

Q е ефективна маса асоциирана

s
 L е параметър

$$\mathbf{p}_i \equiv \frac{\partial \mathcal{L}}{\partial \dot{\mathbf{r}}_i} = m_i s^2 \dot{\mathbf{r}}_i$$
$$p_s \equiv \frac{\partial \mathcal{L}}{\partial \dot{s}} = Q \dot{s}.$$

Носе-Хувър термостат



$$\mathcal{H}_{\text{Nose}} = \sum_{i=1}^N \frac{\mathbf{p}_i^2}{2m_i s^2} + \mathcal{U}(\mathbf{r}^N) + \frac{p_s^2}{2Q} + L \frac{\ln s}{\beta}$$

Система от N частици $6N+2$ степени на

свобода

Функция на разпределение ($E = \text{const}$)

$$\begin{aligned} Q_{\text{Nose}} &= \frac{1}{N!} \int dp_s ds d\mathbf{p}^N d\mathbf{r}^N \delta(E - \mathcal{H}_{\text{Nose}}) & \mathbf{p}' &= \mathbf{p}/s \\ &= \frac{1}{N!} \int dp_s ds d\mathbf{p}'^N d\mathbf{r}^N s^{3N} \\ &\quad \times \delta \left[\sum_{i=1}^N \frac{\mathbf{p}'_i{}^2}{2m_i} + \mathcal{U}(\mathbf{r}^N) + \frac{p_s^2}{2Q} + \frac{L}{\beta} \ln s - E \right] \end{aligned}$$

Носе-Хувър термостат



$$\mathcal{H}(\mathbf{p}', \mathbf{r}) = \sum_{i=1}^N \frac{\mathbf{p}'_i{}^2}{2m_i} + \mathcal{U}(\mathbf{r}^N) \quad \delta[h(s)] = \delta(s - s_0)/|h'(s_0)|$$

$$\begin{aligned} Q_{\text{Nose}} &= \frac{1}{N!} \int dp_s d\mathbf{p}'^N d\mathbf{r}^N ds \frac{\beta s^{3N+1}}{L} \\ &\quad \times \delta \left\{ s - \exp \left[-\beta \frac{\mathcal{H}(\mathbf{p}', \mathbf{r}) + p_s^2/(2Q) - E}{L} \right] \right\} \\ &= \frac{1}{N!} \frac{\beta \exp[E(3N+1)/L]}{L} \int dp_s \exp \left[-\beta \frac{3N+1}{L} p_s^2/(2Q) \right] \\ &\quad \times \int d\mathbf{p}'^N d\mathbf{r}^N \exp \left[-\beta \frac{3N+1}{L} \mathcal{H}(\mathbf{p}', \mathbf{r}) \right] \end{aligned}$$

$$= C \frac{1}{N!} \int d\mathbf{p}'^N d\mathbf{r}^N \exp \left[-\beta \frac{3N+1}{L} \mathcal{H}(\mathbf{p}', \mathbf{r}) \right]$$



Величина A усреднена по разширения ансамбъл

$$\bar{A} = \lim_{\tau \rightarrow \infty} \frac{1}{\tau} \int_0^{\tau} dt A(\mathbf{p}(t)/s(t), \mathbf{r}(t)) \equiv \langle A(\mathbf{p}/s, \mathbf{r}) \rangle_{\text{Nose}}$$

За $L = 3N + 1$ се усреднява по каноничен ансамбъл

$$\begin{aligned} \langle A(\mathbf{p}/s, \mathbf{r}) \rangle_{\text{Nose}} &\equiv \frac{\int d\mathbf{p}'^N d\mathbf{r}^N A(\mathbf{p}', \mathbf{r}) \exp[-\beta \mathcal{H}(\mathbf{p}', \mathbf{r})(3N + 1)/L]}{\int d\mathbf{p}'^N d\mathbf{r}^N \exp[-\beta \mathcal{H}(\mathbf{p}', \mathbf{r})(3N + 1)/L]} \\ &= \frac{(1/N!) \int d\mathbf{p}'^N d\mathbf{r}^N A(\mathbf{p}', \mathbf{r}) \exp[-\beta \mathcal{H}(\mathbf{p}', \mathbf{r})]}{Q(NVT)} \\ &= \langle A(\mathbf{p}', \mathbf{r}) \rangle_{NVT} \end{aligned}$$

Носе-Хувър термостат



Връзка между реалните и виртуалните

$$\begin{aligned}r' &= r \\ p' &= p/s \\ s' &= s \\ \Delta t' &= \Delta t/s\end{aligned}$$

$$\lim_{\tau' \rightarrow \infty} \frac{1}{\tau'} \int_0^{\tau'} dt' A[\mathbf{p}(t')/s(t'), \mathbf{r}(t')]$$

$$\tau' = \int_0^{\tau} dt 1/s(t)$$

$$\begin{aligned}\lim_{\tau' \rightarrow \infty} \frac{1}{\tau'} \int_0^{\tau'} dt' A[\mathbf{p}(t')/s(t'), \mathbf{r}(t')] \\ &= \lim_{\tau' \rightarrow \infty} \frac{\tau}{\tau'} \frac{1}{\tau} \int_0^{\tau} dt A[\mathbf{p}(t)/s(t), \mathbf{r}(t)] / s(t) \\ &= \frac{\lim_{\tau \rightarrow \infty} \frac{1}{\tau} \int_0^{\tau} dt A[\mathbf{p}(t)/s(t), \mathbf{r}(t)] / s(t)}{\lim_{\tau \rightarrow \infty} \frac{1}{\tau} \int_0^{\tau} dt 1/s(t)} \\ &= \langle A(\mathbf{p}/s, \mathbf{r})/s \rangle / \langle 1/s \rangle.\end{aligned}$$

Носе-Хувър термостат



$$\begin{aligned} \frac{\langle A(\mathbf{p}/s, \mathbf{r})/s \rangle}{\langle 1/s \rangle} &= \frac{\left\{ \frac{\int d\mathbf{p}'^N d\mathbf{r}^N A(\mathbf{p}', \mathbf{r}) \exp[-\beta \mathcal{H}(\mathbf{p}', \mathbf{r}) 3N/L]}{\int d\mathbf{p}'^N d\mathbf{r}^N \exp[-\beta \mathcal{H}(\mathbf{p}', \mathbf{r}) 3(N+1)/L]} \right\}}{\left\{ \frac{\int d\mathbf{p}'^N d\mathbf{r}^N \exp[-\beta [\mathcal{H}(\mathbf{p}', \mathbf{r})] 3N/L]}{\int d\mathbf{p}'^N d\mathbf{r}^N \exp[-\beta [\mathcal{H}(\mathbf{p}', \mathbf{r})] 3(N+1)/L]} \right\}} \\ &= \frac{\int d\mathbf{p}'^N d\mathbf{r}^N A(\mathbf{p}/s, \mathbf{r}) \exp[-\beta \mathcal{H}(\mathbf{p}', \mathbf{r}) 3N/L]}{\int d\mathbf{p}'^N d\mathbf{r}^N \exp[-\beta [\mathcal{H}(\mathbf{p}', \mathbf{r})] 3N/L]} \\ &= \langle A(\mathbf{p}/s, \mathbf{r}) \rangle_{NVT} \end{aligned}$$

Носе-Хувър термостат



Уравнения на надвижение във
витуални координати

$$\begin{aligned}\frac{dr_i}{dt} &= \frac{\partial \mathcal{H}_{\text{Nose}}}{\partial p_i} = p_i / (m_i s^2) \\ \frac{dp_i}{dt} &= -\frac{\partial \mathcal{H}_{\text{Nose}}}{\partial r_i} = -\frac{\partial \mathcal{U}(r^N)}{\partial r_i} \\ \frac{ds}{dt} &= \frac{\partial \mathcal{H}_{\text{Nose}}}{\partial p_s} = p_s / Q \\ \frac{dp_s}{dt} &= -\frac{\partial \mathcal{H}_{\text{Nose}}}{\partial s} = \left(\sum_i p_i^2 / (m_i s^2) - \frac{L}{\beta} \right) / s.\end{aligned}$$

Носе-Хувър термостат



Уравнения на надвижение във реални

координати $\frac{dr'_i}{dt'} = s \frac{dr_i}{dt} = p_i / (m_i s) = p'_i / m_i$

$$\frac{dp'_i}{dt'} = s \frac{dp_i}{dt} = \frac{dp_i}{dt} - \frac{1}{s} p_i \frac{ds}{dt}$$
$$= - \frac{\partial \mathcal{U}(\mathbf{r}'^N)}{\partial \mathbf{r}'_i} - (s' p'_s / Q) p'_i$$

$$\frac{1}{s} \frac{ds'}{dt'} = \frac{s}{s} \frac{ds}{dt} = s' p'_s / Q$$

$$\frac{d(s' p'_s / Q)}{dt'} = \frac{s}{Q} \frac{dp_s}{dt}$$
$$= \left(\sum_i p'^2_i / m_i - \frac{L}{\beta} \right) / Q.$$

Носе-Хувър термостат



За последните уравнения се запазва величината:

$$H'_{\text{Nose}} = \sum_{i=1}^N \frac{p_i'^2}{2m_i} + \mathcal{U}(\mathbf{r}'^N) + \frac{s'^2 p_s'^2}{2Q} + L \frac{\ln s'}{\beta}$$

Не е хамилтониан, тъй като от нея не могат да се получат уравнения на движение

Носе-Хувър термостат - приложение



$$\xi = \dot{s} p_s / Q$$

Удобно е да се работи в реални координати

$$L = 3N$$

В хода на симулацията тази величина трябва да се запазва

$$\dot{\mathbf{r}}_i = \mathbf{p}_i / m_i$$

$$\dot{\mathbf{p}}_i = -\frac{\partial \mathcal{U}(\mathbf{r}^N)}{\partial \mathbf{r}_i} - \xi \mathbf{p}_i$$

$$\dot{\xi} = \left(\sum_i \mathbf{p}_i^2 / m_i - \frac{L}{\beta} \right) / Q$$

$$\dot{s}/s = \frac{d \ln s}{dt} = \xi.$$

$$H_{\text{Nose}} = \sum_{i=1}^N \frac{\mathbf{p}_i^2}{2m_i} + \mathcal{U}(\mathbf{r}^N) + \frac{\xi^2 Q}{2} + L \frac{\ln s}{\beta}$$

Хармоничен осцилатор

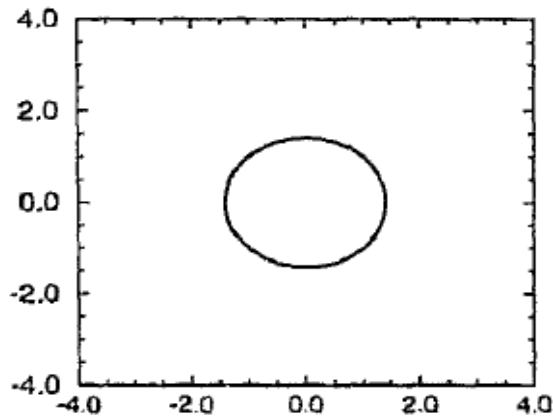


Потенциална енергия

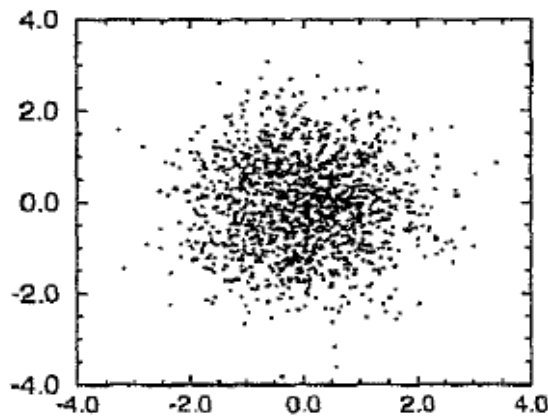
$$u(r) = \frac{1}{2}r^2$$

Уравнения на Нютон

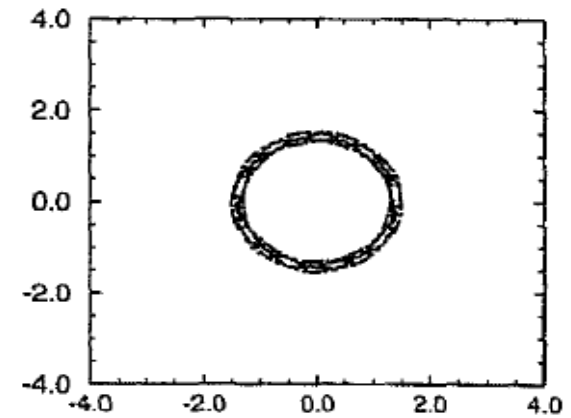
$$\begin{aligned}\dot{r} &= v \\ \dot{v} &= -r\end{aligned}$$



микроаноничен ансамбъл



Андерсън термостат



Нозе-Хувър термостат

Хармоничен осцилатор



Чрез метода на Нозе-Хувър не се получава разпределение на каноничен ансамбъл във фазовото пространство.

Дори и за много дълги периоди на симулация точките във фазовото пространство остават в лентообразна област, чиято ширина зависи от началните условия.

Вериги от НХ термостати



Верига от М
НХ термостати

$$\dot{\mathbf{r}}_i = \frac{\mathbf{p}_i}{m_i}$$

$$\dot{\mathbf{p}}_i = \mathbf{F}_i - \frac{p_{\xi_1}}{Q_1} \mathbf{p}_i$$

$$\dot{\xi}_k = \frac{p_{\xi_k}}{Q_k} \quad k = 1, \dots, M$$

$$\dot{p}_{\xi_1} = \left(\sum_i \frac{p_i^2}{m_i} - Lk_B T \right) - \frac{p_{\xi_2}}{Q_2} p_{\xi_1}$$

$$\dot{p}_{\xi_k} = \left[\frac{p_{\xi_{k-1}}^2}{Q_{k-1}} - k_B T \right] - \frac{p_{\xi_{k+1}}}{Q_{k+1}} p_{\xi_k}$$

$$\dot{p}_{\xi_M} = \left[\frac{p_{\xi_{M-1}}^2}{Q_{M-1}} - k_B T \right].$$

$$H_{NHC} = \mathcal{H}(\mathbf{r}, \mathbf{p}) + \sum_{k=1}^M \frac{p_{\xi_k}^2}{2Q_k} + Lk_B T \xi_1 + \sum_{k=2}^M k_B T \xi_k$$

се

запазва

Хармоничен осцилатор



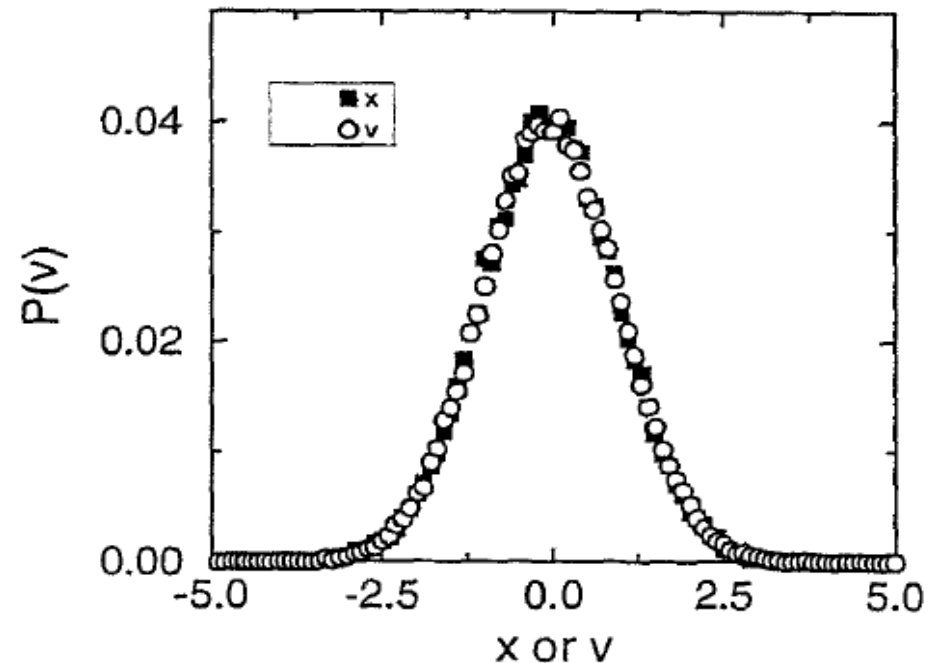
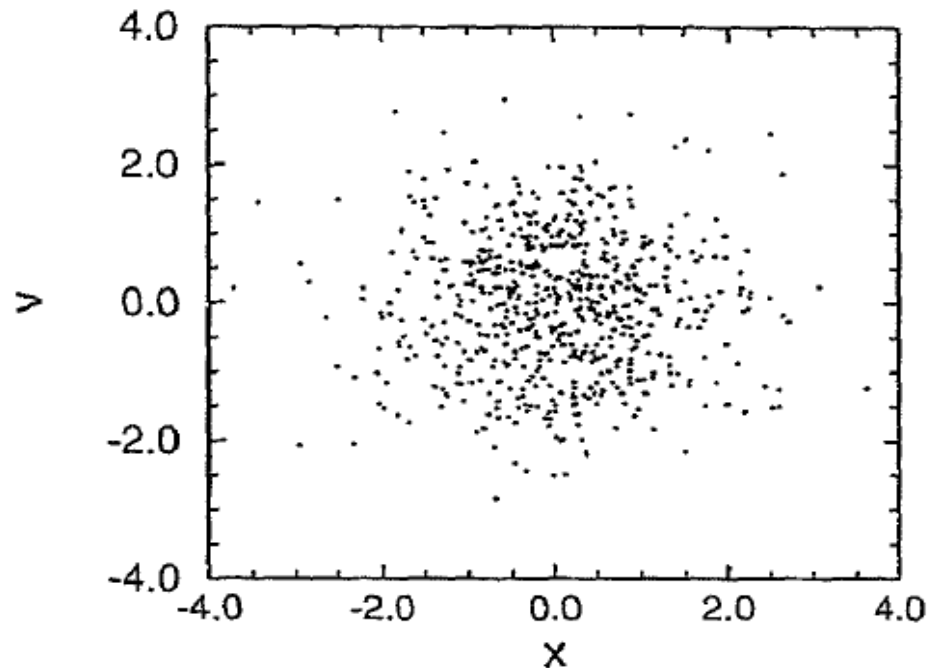
$$\dot{r} = v$$

$$\dot{v} = -r - \xi_1 v$$

$$\dot{\xi}_1 = \frac{v^2 - T}{Q_1} - \xi_1 \xi_2$$

$$\dot{\xi}_2 = \frac{Q_1 \xi_1^2 - T}{Q_2}$$

Коплиран с верига от два
НХ термостата



МД при постоянно налягане



$$\dot{\mathbf{r}}_i = \frac{\mathbf{p}_i}{m_i} + \frac{p_\epsilon}{W} \mathbf{r}_i \quad \epsilon = \ln(V/V(0))$$

$$\dot{\mathbf{p}}_i = \mathbf{F}_i - \left(1 + \frac{d}{dN}\right) \frac{p_\epsilon}{W} \mathbf{p}_i - \frac{p_{\xi_1}}{Q_1} \mathbf{p}_i$$

$$\dot{V} = \frac{dV p_\epsilon}{W}$$

$$\dot{p}_\epsilon = dV (P_{\text{int}} - P_{\text{ext}}) + \frac{1}{N} \sum_{i=1}^N \frac{\mathbf{p}_i^2}{m_i} - \frac{p_{\xi_1}}{Q_1} p_\epsilon$$

$$P_{\text{int}} = \frac{1}{dV} \left[\sum_{i=1}^N \left(\frac{\mathbf{p}_i^2}{m_i} + \mathbf{r}_i \cdot \mathbf{F}_i \right) - dV \frac{\partial U(V)}{\partial V} \right]$$

Верига от баростати



$$\dot{\xi}_k = \frac{p_{\xi_k}}{Q_k} \quad \text{for } k = 1, \dots, M$$

$$\dot{p}_{\xi_1} = \sum_{i=1}^N \frac{p_i^2}{m_i} + \frac{p_\epsilon^2}{W} - (dN + 1)k_B T - \frac{p_{\xi_2}}{Q_2} p_{\xi_1}$$

$$\dot{p}_{\xi_k} = \frac{p_{\xi_{k-1}}^2}{Q_{k-1}} - k_B T - \frac{p_{\xi_{k+1}}}{Q_{k+1}} p_{\xi_k} \quad \text{for } k = 2, \dots, M - 1$$

$$\dot{p}_{\xi_M} = \frac{p_{\xi_{M-1}}^2}{Q_{M-1}} - k_B T.$$

Запазваща се
величина

$$H_{N, P_{\text{ext}}, T} = \mathcal{H}(\mathbf{p}, \mathbf{r}) + \frac{p_\epsilon^2}{W} + \sum_{k=1}^M \frac{p_{\xi_k}^2}{Q_k} + (dN + 1)k_B T \xi_1 \\ + k_B T \sum_{k=1}^M \xi_k + P_{\text{ext}} V.$$

Кинетика на химичните реакции



Права



Обратна

Посока
на
реакцията



При протичане на реакцията в права посока

$$v_A = - \frac{d[A]}{dt} \longleftarrow \text{Концентрация на реагента } A$$

$$v_C = \frac{d[C]}{dt}$$

Скорост на реакция - k



$$J_C = k_2[C] \qquad J_A = J_B = k_1[A][B]$$

Поток на реакцията

Химичен потенциал



$$\mu_i = \mu_i^0 + RT \ln a_i$$

Химична активност

$$a_i = \gamma_i [i]$$

Коефициент на химична активност

Уравнение на van't Hoff



Промяна в свободната енергия на Гибс

$$\Delta G = v_C \mu_C + v_D \mu_D - v_A \mu_A - v_B \mu_B$$

$$\Delta G = \Delta G^0 + RT(v_C \ln a_C + v_D \ln a_D - v_A \ln a_A - v_B \ln a_B)$$

$$\Delta G^0 = v_C \mu_C^0 + v_D \mu_D^0 - v_A \mu_A^0 - v_B \mu_B^0$$

$$\Delta G = \Delta G^0 + RT \ln \left(\frac{a_C^{v_C} a_D^{v_D}}{a_A^{v_A} a_B^{v_B}} \right)$$

Равновесна константа



При настъпване на термодинамично равновесие промяната в свободната енергия

$$K_{\text{eq}} = \frac{[C]_{\text{eq}}^{\nu_C} [D]_{\text{eq}}^{\nu_D}}{[A]_{\text{eq}}^{\nu_A} [B]_{\text{eq}}^{\nu_B}} = e^{-\frac{\Delta G^0}{RT}} = A e^{-\frac{\Delta G_{\text{int}}^0}{RT}}$$

$$K_{\text{eq}} = \frac{(\text{Rate constant for forward reaction})}{(\text{Rate constant for reverse reaction})}$$

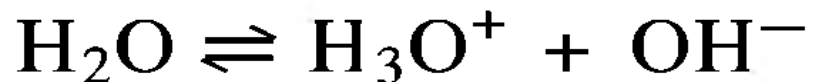
Пример



S – субстрат, E – ензим и P - продукт



K_M – константа на Michaelis



$$K_{\text{eq}} = \frac{[\text{H}_3\text{O}^+][\text{OH}^-]}{[\text{H}_2\text{O}]}$$

Йонно произведение

$$K_{\text{H}_2\text{O}} = [\text{H}_3\text{O}^+][\text{OH}^-]$$

$$1.0 \times 10^{-14} \text{ at } 25^\circ\text{C.}$$

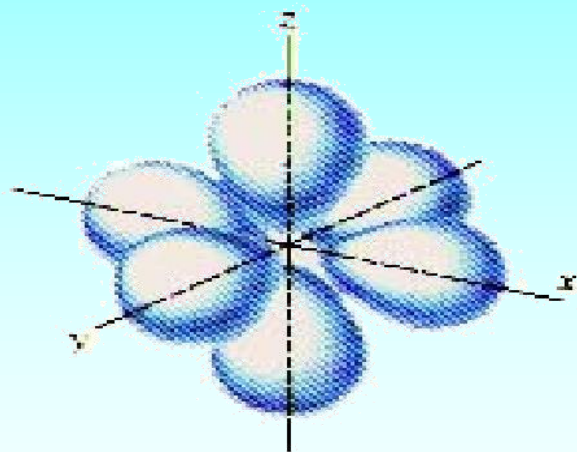
$$\text{pH} = -\log_{10} [\text{H}_3\text{O}^+]$$

Геометрия на молекулата на водата

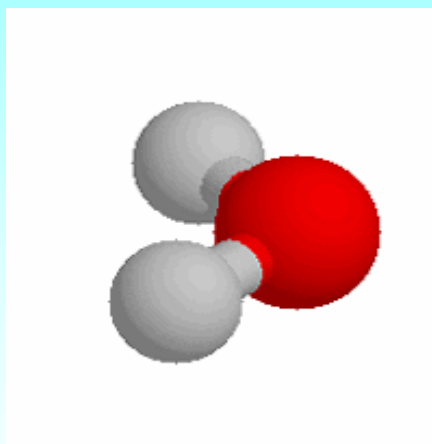


Проблем при МВВ - изхождайки от симетрията на АО, предсказаната от МВВ геометрия на молекулите не отговаря на експерименталните данни

О атом - $1s^2 2s^2 2p_x^2 2p_y^1 2p_z^1$; Н атом - $1s^1$



H-O-H 90°



H-O-H 104.5°

Въвеждане на представата за хибридизация на АО

pK



киселина $\text{HA} \rightleftharpoons \text{H}^+ + \text{A}^-$

Равновесна константа

$[\text{H}_3\text{O}^+]$ and $[\text{H}^+]$ are equivalent $K = \frac{[\text{H}^+][\text{A}^-]}{[\text{HA}]}$

$$\log_{10} \frac{1}{[\text{H}_3\text{O}^+]} = \log_{10} \frac{1}{K} + \log_{10} \frac{[\text{A}^-]}{[\text{HA}]}$$

$$\text{pH} = \text{pK} + \log_{10} \frac{[\text{A}^-]}{[\text{HA}]}$$

Далечни взаимодействия

Далечни взаимодействия



Точков заряд

Система от положително и отрицателно заредени частици с обем L^3 и периодични гранични условия.

$$\sum_i q_i = 0$$

$$U_{\text{Coul}} = \frac{1}{2} \sum_{i=1}^N q_i \phi(r_i)$$

Енергия на системата

Системата трябва да бъде електронеутрална

$$\phi(r_i) = \sum_{j,n} ' \frac{q_j}{|r_{ij} + nL|}$$

Горната сума не може да се използва директно в симул



Всяка частица е обкръжена на облак с плавно променяща се плътност (екраниращ заряд), така че сумата от двата заряд да е 0.

Плътност на екраниращия заряд

$$\rho_{\text{Gauss}}(r) = -q_i (\alpha/\pi)^{\frac{3}{2}} \exp(-\alpha r^2)$$



Така потенциалната енергия на един заряд q_i има три части:

- за q_i
- екраниращ облак със заряд $-q_i$
- компесиращ облак със заряд q_i

Уравнение на Поасон



$$-\nabla^2\phi(\mathbf{r}) = 4\pi\rho(\mathbf{r})$$

потенциал

зарядова
плътност

За точков

заряд $\phi(\mathbf{r}) = \frac{z}{4\pi|\mathbf{r}|}$

л

За система от N заряда

$$\rho_P(\mathbf{r}) = \sum_{i=1}^N q_i \delta(\mathbf{r} - \mathbf{r}_i)$$

$$\phi(\mathbf{r}) = \sum_{i=1}^N \frac{q_i}{4\pi|\mathbf{r} - \mathbf{r}_i|}$$



Ред на Фурие

$$f(\mathbf{r}) = \frac{1}{V} \sum_{\mathbf{l}=-\infty}^{\infty} \tilde{f}(\mathbf{k}) e^{i\mathbf{k} \cdot \mathbf{r}}$$

$$\mathbf{k} = (2\pi/L)\mathbf{l} \quad \mathbf{l} = (l_x, l_y, l_z)$$

За коефициентите

$$\tilde{f}(\mathbf{k}) = \int_V d\mathbf{r} f(\mathbf{r}) e^{-i\mathbf{k} \cdot \mathbf{r}}$$



$$\begin{aligned} -\nabla^2 \phi(\mathbf{r}) &= -\nabla^2 \left(\frac{1}{V} \sum_{\mathbf{k}} \bar{\phi}(\mathbf{k}) e^{i\mathbf{r} \cdot \mathbf{k}} \right) \\ &= \frac{1}{V} \sum_{\mathbf{k}} k^2 \bar{\phi}(\mathbf{k}) e^{i\mathbf{r} \cdot \mathbf{k}}. \end{aligned}$$

$$\rho(\mathbf{r}) = \frac{1}{V} \sum_{\mathbf{k}} \bar{\rho}(\mathbf{k}) e^{i\mathbf{r} \cdot \mathbf{k}}.$$

$$k^2 \bar{\phi}(\mathbf{k}) = 4\pi \bar{\rho}(\mathbf{k})$$

$$\begin{aligned} \bar{\rho}(\mathbf{k}) &= \int_V d\mathbf{r} z \delta(\mathbf{r}) e^{-i\mathbf{k} \cdot \mathbf{r}} \\ &= z. \end{aligned}$$

z – големина за заряда

$$\bar{\phi}(\mathbf{k}) = \frac{4\pi z}{k^2}.$$

Решение на уравнението на Поасон



$$\bar{g}(k) = \frac{4\pi}{k^2}$$

Функция на Грийн

$$\tilde{\phi}(k) = \bar{g}(k)\bar{\rho}_P(k)$$

Решението, записано по друг начин

$$\begin{aligned}\bar{\rho}_P(k) &= \int_V d\mathbf{r} \sum_{i=1}^N q_i \delta(\mathbf{r} - \mathbf{r}_i) e^{-i\mathbf{k}\cdot\mathbf{r}} \\ &= \sum_{i=1}^N q_i e^{-i\mathbf{k}\cdot\mathbf{r}_i}.\end{aligned}$$

Фурие образ на сумата на Евалд



$$\rho_1(\mathbf{r}) = \sum_{j=1}^N \sum_{\mathbf{n}} q_j (\alpha/\pi)^{\frac{3}{2}} \exp \left[-\alpha |\mathbf{r} - (\mathbf{r}_j + \mathbf{nL})|^2 \right]$$

$$-\nabla^2 \phi_1(\mathbf{r}) = 4\pi \rho_1(\mathbf{r})$$

$$\mathbf{k}^2 \phi_1(\mathbf{k}) = 4\pi \rho_1(\mathbf{k})$$

$$\begin{aligned} \rho_1(\mathbf{k}) &= \int_V d\mathbf{r} \exp(-i\mathbf{k} \cdot \mathbf{r}) \rho_1(\mathbf{r}) \\ &= \int_V d\mathbf{r} \exp(-i\mathbf{k} \cdot \mathbf{r}) \sum_{j=1}^N \sum_{\mathbf{n}} q_j (\alpha/\pi)^{\frac{3}{2}} \exp \left[-\alpha |\mathbf{r} - (\mathbf{r}_j + \mathbf{nL})|^2 \right] \\ &= \int_{\text{all space}} d\mathbf{r} \exp(-i\mathbf{k} \cdot \mathbf{r}) \sum_{j=1}^N q_j (\alpha/\pi)^{\frac{3}{2}} \exp \left[-\alpha |\mathbf{r} - \mathbf{r}_j|^2 \right] \\ &= \sum_{j=1}^N q_j \exp(-i\mathbf{k} \cdot \mathbf{r}_j) \exp(-k^2/4\alpha) \end{aligned}$$

Фурие образ на сумата на Евалд



$$\begin{aligned}\phi_1(\mathbf{r}) &= \frac{1}{V} \sum_{\mathbf{k} \neq 0} \phi_1(\mathbf{k}) \exp(i\mathbf{k} \cdot \mathbf{r}) \\ &= \sum_{\mathbf{k} \neq 0} \sum_{j=1}^N \frac{4\pi q_j}{k^2} \exp[i\mathbf{k} \cdot (\mathbf{r} - \mathbf{r}_j)] \exp(-k^2/4\alpha)\end{aligned}$$

$$\rho(\mathbf{k}) \equiv \sum_{i=1}^N q_i \exp(i\mathbf{k} \cdot \mathbf{r}_i)$$

$$\begin{aligned}\mathcal{U}_1 &\equiv \frac{1}{2} \sum_i q_i \phi_1(\mathbf{r}_i) \\ &= \frac{1}{2} \sum_{\mathbf{k} \neq 0} \sum_{i,j=1}^N \frac{4\pi q_i q_j}{V k^2} \exp[i\mathbf{k} \cdot (\mathbf{r}_i - \mathbf{r}_j)] \exp(-k^2/4\alpha) \\ &= \frac{1}{2V} \sum_{\mathbf{k} \neq 0} \frac{4\pi}{k^2} |\rho(\mathbf{k})|^2 \exp(-k^2/4\alpha),\end{aligned}$$

Корекция за самодействието



$$\rho_{\text{Gauss}}(r) = q_i (\alpha/\pi)^{\frac{3}{2}} \exp(-\alpha r^2)$$

$$-\frac{1}{r} \frac{\partial^2 r \phi_{\text{Gauss}}(r)}{\partial r^2} = 4\pi \rho_{\text{Gauss}}(r)$$

$$-\frac{\partial^2 r \phi_{\text{Gauss}}(r)}{\partial r^2} = 4\pi r \rho_{\text{Gauss}}(r)$$

$$\begin{aligned} -\frac{\partial r \phi_{\text{Gauss}}(r)}{\partial r} &= \int_{\infty}^r dr 4\pi r \rho_{\text{Gauss}}(r) \\ &= -2\pi q_i (\alpha/\pi)^{\frac{3}{2}} \int_r^{\infty} dr^2 \exp(-\alpha r^2) \\ &= -2q_i (\alpha/\pi)^{\frac{1}{2}} \exp(-\alpha r^2). \end{aligned}$$

$$\begin{aligned} r \phi_{\text{Gauss}}(r) &= 2q_i (\alpha/\pi)^{\frac{1}{2}} \int_0^r dr \exp(-\alpha r^2) \\ &= q_i \operatorname{erf}(\sqrt{\alpha} r), \end{aligned}$$



$$\operatorname{erf}(x) \equiv (2/\sqrt{\pi}) \int_0^x \exp(-u^2) du.$$

$$\phi_{\text{Gauss}}(r) = \frac{q_i}{r} \operatorname{erf}(\sqrt{\alpha}r)$$

$$\phi_{\text{Gauss}}(r=0) = 2q_i(\alpha/\pi)^{\frac{1}{2}}$$

Членът който трябва да се извади от пресметнатата до тук потенциална енергия

$$\begin{aligned} \mathcal{U}_{\text{self}} &= \frac{1}{2} \sum_{i=1}^N q_i \phi_{\text{self}}(r_i) \\ &= (\alpha/\pi)^{\frac{1}{2}} \sum_{i=1}^N q_i^2. \end{aligned}$$



$$\begin{aligned}\phi_{\text{short-range}}(r) &= \frac{q_i}{r} - \frac{q_i}{r} \operatorname{erf}(\sqrt{\alpha}r) \\ &= \frac{q_i}{r} \operatorname{erfc}(\sqrt{\alpha}r),\end{aligned}$$

$$\operatorname{erfc}(x) \equiv 1 - \operatorname{erf}(x)$$

$$U_{\text{short-range}} = \frac{1}{2} \sum_{i \neq j}^N q_i q_j \operatorname{erfc}(\sqrt{\alpha}r_{ij}) / r_{ij}$$

Потенцијална енергија



$$\begin{aligned} \mathcal{U}_{\text{Coul}} = & \frac{1}{2V} \sum_{\mathbf{k} \neq 0} \frac{4\pi}{k^2} |\rho(\mathbf{k})|^2 \exp(-k^2/4\alpha) \\ & - (\alpha/\pi)^{\frac{1}{2}} \sum_{i=1}^N q_i^2 \\ & + \frac{1}{2} \sum_{i \neq j}^N \frac{q_i q_j \operatorname{erfc}(\sqrt{\alpha} r_{ij})}{r_{ij}}. \end{aligned}$$

Диполни частици



В пресмятанията до
сега

$$q_i \longrightarrow -\mu_i \cdot \nabla_i$$

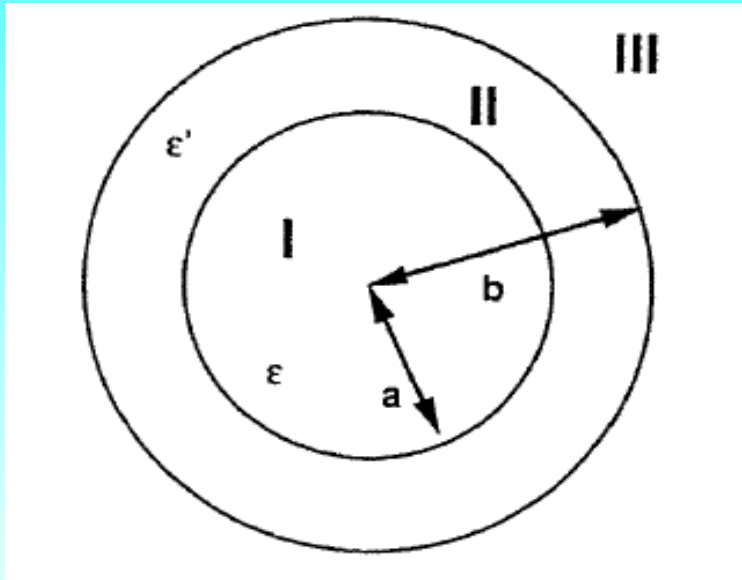
$$\begin{aligned} \mathcal{U}_{\text{dipolar}} = & \frac{1}{2V} \sum_{\mathbf{k} \neq 0} \frac{4\pi}{k^2} |\mathbf{M}(\mathbf{k})|^2 \exp(-k^2/4\alpha) \\ & - \frac{2\pi}{3} (\alpha/\pi)^{\frac{3}{2}} \sum_{i=1}^N \mu_i^2 \\ & + \frac{1}{2} \sum_{i \neq j}^N [(\mu_i \cdot \mu_j) B(r_{ij}) - (\mu_i \cdot \mathbf{r}_{ij})(\mu_j \cdot \mathbf{r}_{ij}) C(r_{ij})], \end{aligned}$$

$$B(r) \equiv \frac{\text{erfc}(\sqrt{\alpha}r)}{r^3} + 2(\alpha/\pi)^{\frac{1}{2}} \frac{\exp(-\alpha r^2)}{r^2},$$

$$C(r) \equiv 3 \frac{\text{erfc}(\sqrt{\alpha}r)}{r^5} + 2(\alpha/\pi)^{\frac{1}{2}} (2\alpha + 3/r^2) \frac{\exp(-\alpha r^2)}{r^2}.$$

$$\mathbf{M}(\mathbf{k}) \equiv \sum_{i=1}^N i \mu_i \cdot \mathbf{k} \exp(i\mathbf{k} \cdot \mathbf{r}_i)$$

Диелектрична константа



Приложено външно
електростатично поле E

$$a \rightarrow \infty, b \rightarrow \infty, a/b \rightarrow 0$$

$$E_I = \frac{9\epsilon'}{(\epsilon' + 2)(2\epsilon' + \epsilon)} E$$

Интензитета в област

Поляризация

$$P \equiv \frac{\epsilon - 1}{4\pi} E_I = \frac{9\epsilon'(\epsilon - 1)}{4\pi(\epsilon' + 2)(2\epsilon' + \epsilon)} E$$



$$\langle \mathbf{P} \rangle = \frac{1}{VQ} \int d\mathbf{r}^N \sum_{i=1}^N \mu_i \exp \left[-\beta \left(\mathcal{H}_0 - \sum_{i=1}^N \mu_i \cdot \mathbf{E}'_i \right) \right]$$
$$= \frac{\beta}{3V} \left(\langle \mathbf{M}^2 \rangle - \langle \mathbf{M} \rangle^2 \right) \mathbf{E}'_i.$$

$$\langle \mathbf{P} \rangle = \frac{1}{3} \beta \rho g_k \mu^2 \mathbf{E}'_i$$

$$g_k \equiv \frac{1}{N\mu^2} \left(\langle \mathbf{M}^2 \rangle - \langle \mathbf{M} \rangle^2 \right)$$

$$\frac{(\epsilon - 1)(2\epsilon' + 1)}{(2\epsilon' + \epsilon)} = \frac{4}{3} \pi \beta \rho g_k \mu^2$$

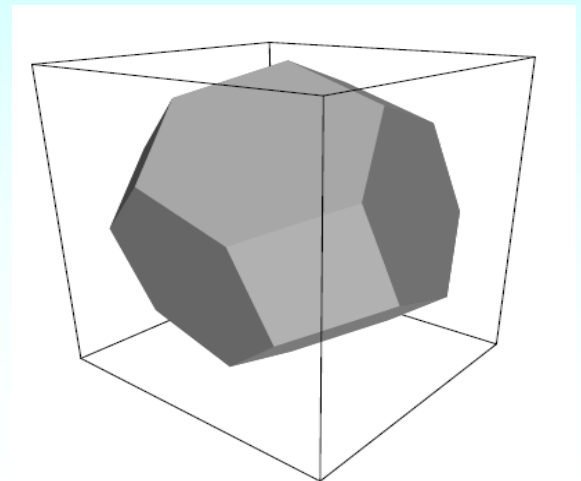
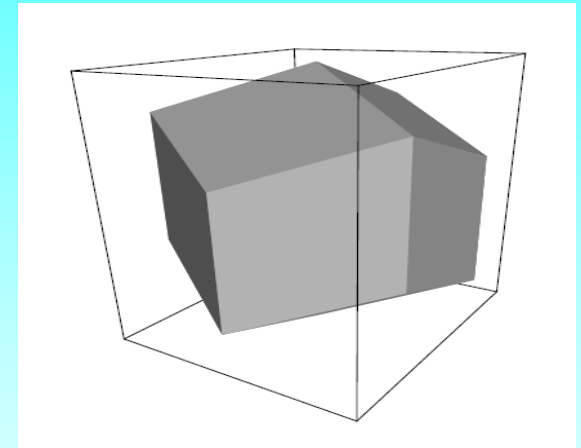
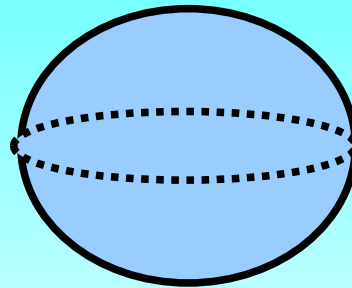
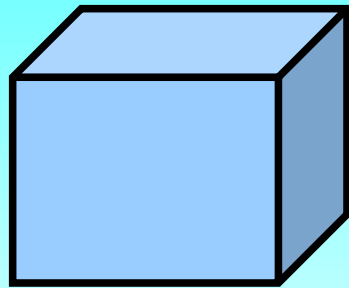
Средата е обкръжена с проводник ($\epsilon' \rightarrow \infty$).

$$\mathbf{M} = \sum_{i=1}^N \mu_i$$

$$\epsilon = 1 + \frac{4}{3} \pi \beta \rho g_k \mu^2$$

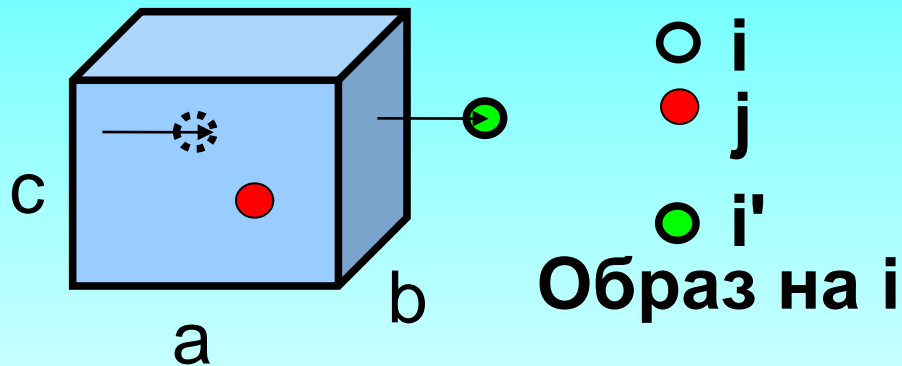
Флуктуациите в диполния момент зависят от обкръжаващата среда

Симулационен обем



box type	image distance	box volume	box vectors			box vector angles		
			a	b	c	$\angle bc$	$\angle ac$	$\angle ab$
cubic	d	d^3	d 0 0	0 d 0	0 0 d	90°	90°	90°
rhombic dodecahedron (xy-square)	d	$\frac{1}{2}\sqrt{2}d^3$ $0.707d^3$	d 0 0	0 d 0	$\frac{1}{2}d$ $\frac{1}{2}d$ $\frac{1}{2}\sqrt{2}d$	60°	60°	90°
rhombic dodecahedron (xy-hexagon)	d	$\frac{1}{2}\sqrt{2}d^3$ $0.707d^3$	d 0 0	$\frac{1}{2}d$ $\frac{1}{2}\sqrt{3}d$ 0	$\frac{1}{2}d$ $\frac{1}{6}\sqrt{3}d$ $\frac{1}{3}\sqrt{6}d$	60°	60°	60°
truncated octahedron	d	$\frac{4}{9}\sqrt{3}d^3$ $0.770d^3$	d 0 0	$\frac{1}{3}d$ $\frac{2}{3}\sqrt{2}d$ 0	$-\frac{1}{3}d$ $\frac{1}{3}\sqrt{2}d$ $\frac{1}{3}\sqrt{6}d$	71.53°	109.47°	71.53°

Периодични гранични условия



Съвкупност от образи

$$R_{mnl} = R + ma + nb + lc$$

$$X_{ij} = X_i - X_j$$

$$X_{i'j} = X_{i'} - X_j$$

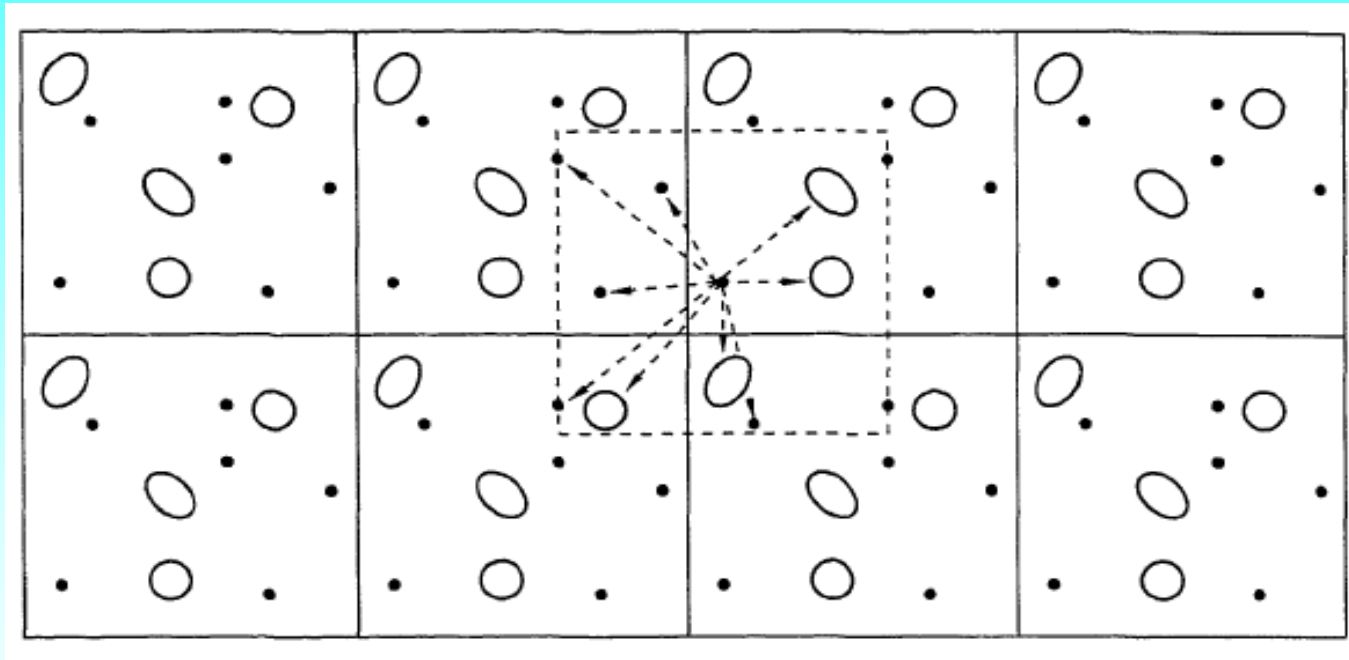
$$x > a \quad x = x - a$$

a

Метод на най-близкия образ

Работи се с образът на различна частица, който е на разстояние по-малко или равно на половината от най-малкия вектор на симулационния обем.

Периодични гранични условия



Потенциална енергия на N частици в която и да е от периодичните клетки

$$U_{\text{tot}} = \frac{1}{2} \sum_{i,j,n} u(|\mathbf{r}_{ij} + n\mathbf{L}|)$$

Truncation of potentials



Потенциална енергия $u(r)$. $u(r) = u_c(r)$ при $r < r_c$
 $u = 0$ при $r \geq r_c$ $r_c < L/2$

$$\mathcal{U}^{\text{tot}} = \sum_{i < j} u_c(r_{ij}) + \frac{N\rho}{2} \int_{r_c}^{\infty} dr u(r) 4\pi r^2$$



$$u^{lj}(r) = 4\epsilon \left[\left(\frac{\sigma}{r}\right)^{12} - \left(\frac{\sigma}{r}\right)^6 \right]$$

$\rho(r)$

Плътност на разстояние r от даден атом i

$$u_i = (1/2) \int_0^\infty dr 4\pi r^2 \rho(r) u(r)$$

$$\begin{aligned} u^{\text{tail}} &= \frac{1}{2} 4\pi\rho \int_{r_c}^\infty dr r^2 u(r) \\ &= \frac{1}{2} 16\pi\rho\epsilon \int_{r_c}^\infty dr r^2 \left[\left(\frac{\sigma}{r}\right)^{12} - \left(\frac{\sigma}{r}\right)^6 \right] \\ &= \frac{8}{3}\pi\rho\epsilon\sigma^3 \left[\frac{1}{3} \left(\frac{\sigma}{r_c}\right)^9 - \left(\frac{\sigma}{r_c}\right)^3 \right]. \end{aligned}$$

за

$$r_c = 2.5 \sigma$$

$$\rho\sigma^3 = 1$$

$$u^{\text{tail}} = -0.535\epsilon$$

Най-чести използвани методи



Просто прекъсване

Прекъсване и отместване

Конвенция за най-близкия образ

Просто прекъсване



$$u^{\text{trunc}}(r) = \begin{cases} u^{\text{li}}(r) & r \leq r_c \\ 0 & r > r_c \end{cases}$$

(виж последния пример)

Не е подходящ за МД
симулации, може да се
използва в Монте Карло
симулиране

Прекъсване и отместване



$$u^{\text{tr-sh}}(r) = \begin{cases} u^{\text{li}}(r) - u^{\text{li}}(r_c) & r \leq r_c \\ 0 & r > r_c \end{cases}$$

Често използван метод в МД